

Logická syntéza s nativní podporou XOR hradel

Ivo Háleček

1. ročník, prezenční studium

Školitel: Petr Fišer, Specialista: Jan Schmidt

Fakulta informačních technologií, ČVUT

Thákurova 9, 160 00 Praha

ivo.halecek@fit.cvut.cz

Abstrakt—V článku je představena možnost využití nové reprezentace logických obvodů pomocí Xor-And-Invertor grafů (XAIG) v syntézních algoritmech. XAIG jsou založeny na And-Invertor grafech, orientovaných acyklických grafech, kde uzly představují dvou-vstupá hradla AND či XOR a hrany mohou být negované. Předpokládá se, že tato reprezentace umožní algoritmům s XORy nativně pracovat a odhalit komplexnější závislosti. Pro experimentální ověření pravdivosti bude reimplementován algoritmus rewrite a bude porovnán s originálním rewritingem.

Klíčová slova—Logická syntéza, XOR, AIG, XAIG, ABC, rewriting

I. ÚVOD

Zlepšování logické syntézy je stále aktuální téma. Přesto, že proces logické syntézy a optimalizace se zdál být již v minulých dekádách efektivně vyřešený problém, v nedávné době se objevilo několik nových přístupů, většinou založených na nových datových strukturách používaných pro reprezentaci funkcí a sítí [22].

Původní nástroje logické syntézy vyjadřovaly funkce pomocí sum-of-products (SOP) [1], [2]. Nad touto reprezentací pracovaly dvouúrovňové, později víceúrovňové SOP minimalizační nástroje. Jako jednodušší alternativa k reprezentaci v SOP byla v mnoha algoritmech využívána reprezentace pomocí NOR hradel [3], která však přinesla pouze jednodušší implementaci algoritmů.

Velkým průlomem v reprezentaci funkcí bylo představení binárních rozhodovacích diagramů (Binary Decision Diagrams - BDD) [4], [5]. Syntézní a optimalizační algoritmy byly upraveny pro tyto struktury, což zlepšilo jejich výkon [6], [7], [8], [9].

Tyto reprezentace, ačkoliv hojně využívané, však trpěly špatnou škálovatelností. Z tohoto důvodu vznikla velmi efektivní reprezentace logiky – And-Inverter-Grafy (AIG) [10], [11], [12]. V AIG je logická síť reprezentována pomocí orientovaného grafu, kde uzly jsou 2-vstupá AND hradla a hrany mohou být negované. Mnoho algoritmů, založených na reprezentaci v AIG bylo implementováno do moderního akademického nástroje pro logickou syntézu a verifikaci, ABC [13]. Reprezentace v AIG pravděpodobně je, či brzo bude integrována i do komerčních nástrojů [14].

V tomto článku představujeme rozšíření konceptu AIG o nativní podporu hradel XOR, Xor-And-Invertor grafy (XAIG). XAIG představují ortogonální přístup k Majority-Invertor-Graphs (MIGs), což je reprezentace založená na AIG, kde uzly jsou nahrazeny majoritní funkcí 3 proměnných [23].

Reprezentace pomocí XAIG je přístup ortogonální k MIG. XOR není monotónní a použití XAIG může vést k jiným oblastem efektivity implementace než MIG.

II. POPIS PROBLÉMU

Přesto, že se několik let považovalo AIG za univerzální reprezentaci pro logické obvody, algoritmy postavené na AIG vykazují u některých obvodů hluboce neoptimální výkon, produkující obvody s mnohem větší plochou, než jaké je možné docílit. Jedna ze společných charakteristik této problémové množiny obvodů je vysoká intenzita hradel typu XOR. Důvodem neschopnosti algoritmů správně využít tato hradla může být v tom, že XOR má jiné vlastnosti než AND nebo NOR. Pokud tedy algoritmus správně neidentifikuje XOR, a pracuje s ním jako se soustavou ANDů a invertorů, může vyprodukovat řádově horší výsledky, než pokud by byl schopný nativně pracovat s XORem [15], [16].

Pro podpoření tohoto tvrzení jsme vygenerovali ze sady benchmarků [17], [18], [19], [20] verzi zkolapsovanou do dvouúrovňového popisu (SOP). Tento proces zamaskuje XORy, což, v případě nedostatečné identifikace a využití XORů optimalizačními algoritmy, může způsobit výrazné zhoršení výsledků syntézy.

V nástroji ABC provedli experimentální porovnání sady benchmarků v originální a collapsed verzi pomocí 20 iterací sekvence příkazů *dch*; *if*; *mfs*. Tato sekvence obvod optimalizuje, namapuje do LUTů a optimalizuje neurčené hodnoty. Jak je vidět v Tabulce 1, collapse u některých obvodů způsobil, že syntéza je nedokázala zoptimalizovat.

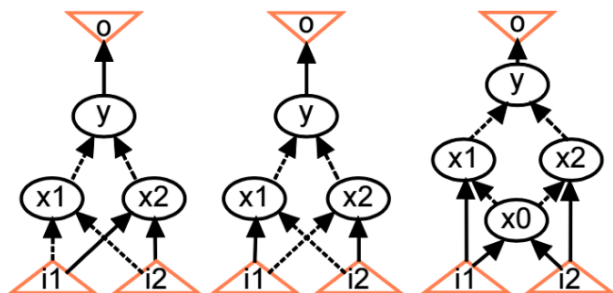
TABULKA 1: POROVNÁNÍ OPTIMALIZACE ORIGINÁLNÍCH A COLLAPSED BENCHMARKŮ

| name | original LUTs | collapsed LUTs | LUT ratio |
|------------------------|---------------|----------------|-----------|
| s4863 | 425 | 138111 | 324,97 |
| mm9b | 121 | 6153 | 50,85 |
| c880 | 116 | 5627 | 48,51 |
| c5315 | 475 | 19873 | 41,84 |
| mm9a | 98 | 2593 | 26,46 |
| Altera_oc_minirisc | 770 | 11512 | 14,95 |
| c432 | 71 | 827 | 11,65 |
| i10 | 665 | 6285 | 9,45 |
| ITC_b05 | 174 | 1367 | 7,86 |
| mm4a | 40 | 304 | 7,60 |
| Altera_oc_des_des3perf | 17817 | 69983 | 3,93 |
| Altera_oc | 635 | 2431 | 3,83 |

III. NAVRHOVANÉ ŘEŠENÍ

Jedním ze způsobů, jak se pokusit zlepšit výsledky syntézy nad obvody s vysokou intenzitou hradel XOR je přepsat současné syntézní algoritmy tak, aby pracovaly s obecnější reprezentací obvodů a uměly XORy efektivně využít. Takovou reprezentací by mohlo být XAIG, rozšířené AIG tak, že uzly mohou mimo funkce AND představovat funkci XOR.

Jak lze vidět na Obrázku 1, XOR je v AIG reprezentován dvěma vstupy (i_1, i_2), dvěma či třemi vnitřními ANDy (x_0, x_1, x_2) a výstupním ANDem (y), který může být invertovaný.



Obrázek 1: reprezentace hradla XOR v AIG

Náš nedávný výzkum ukázal, že nástroj ABC sice již obsahuje možnost reprezentovat obvody v podobné struktuře jako XAIG, And-Xor-Mux grafy. Tuto reprezentaci však využívá pouze podмноžina optimalizačních algoritků z nového balíčku příkazů ABC9. Jelikož tyto nové algoritmy nejsou téměř

dokumentované ani publikované, provedli jsme nejdříve výzkum toho, jak jsou tyto nové algoritmy schopny využít XORů v XAIG.

Nejprve jsme zjistili, které algoritmy využívají této nové reprezentace tak, že jsme po úpravě zdrojového kódu u algoritmů z balíčku ABC9 zaznamenávali volání funkce pro identifikaci XORů a jimi nahrazení ekvivalentních struktur v AIG. Zkoumali jsme pouze příkazy, u kterých jsme z nápovědy zjistili, že se týkají optimalizace (X)AIG. Výsledky jsou zobrazeny v Tabulce 2. Tyto algoritmy jsme vybrali pro porovnání jejich účinnosti s modifikovanou verzí, která struktury v AIG XORy nenahrazovala. Místo vytvoření nativního XORu se vždy vytvořila funkčně ekvivalentní struktura z ANDů, jako na Obrázek 1.

TABULKA 2: OPTIMALIZAČNÍ ALGORITMY Z BALÍČKU ABC9 A VÝSLEDEK ZKOUMÁNÍ VYUŽITÍ XAIG (SLOUPEC XAIG)

| příkaz | Oficiální popis | XAIG ? |
|---------|--|--------|
| &b | performs AIG balancing to reduce delay and area | Ano |
| &blut | performs AIG balancing for the given LUT size | Ano |
| &dc2 | performs heavy rewriting of the AIG | Ne |
| &dch | computes structural choices using a new approach | Ne |
| &dsd | performs DSD-based collapsing | Ne |
| &dadb | performs DSD balancing | Ne |
| &fadds | detects full-adder chains and puts them into white boxes | Ne |
| &flow | integration optimization and mapping flow | Ano |
| &flow2 | integration optimization and mapping flow | Ano |
| &fraig | performs combinational SAT sweeping | Ne |
| &pack | performs packing for the LUT mapped network | Ne |
| &satclp | performs SAT based collapsing | Ano |
| &satfx | performs SAT based shared logic extraction | Ano |
| &st | performs structural hashing | Ne |
| &syn2 | performs AIG optimization | Ano |
| &syn3 | performs AIG optimization | Ano |
| &syn4 | performs AIG optimization | Ano |
| &synch2 | computes structural choices using a new approach | Ano |

K porovnání jsme výsledky optimalizace namapovali na buňky LUT se 6 vstupy a sledovali jejich počet. V případě, že

by algoritmy uměly reprezentaci s XORy využít, měl by být počet LUTů po namapování menší u originálního algoritmu, proti algoritmu s výše uvedenou modifikací.

Jak je vidět v Tabulce 3, mezi výkonem algoritmu &syn4 nad AIG a XAIG je velmi silná korelace. Tabulka ukazuje pouze podmnožinu zkoumaných benchmarků a jeden vybraný optimalizační algoritmus, výsledky dalších algoritmů a kompletní sady benchmarků jsou velmi podobné; korelace je srovnatelná – dostupné algoritmy tedy s XORy pravděpodobně správně pracovat neumí.

TABULKA 3: SROVNÁNÍ ALGORITMU &SYN4 NAD AIG A XAIG

| name | ANDs | LUTs | |
|--------------------|------|------|--------------|
| | | AIG | XAIG |
| s38417 | 8166 | 2247 | 2284 |
| des | 4123 | 482 | 561 |
| apex4 | 2587 | 686 | 692 |
| bca | 2292 | 805 | 811 |
| C6288 | 2290 | 893 | 703 |
| bcb | 2066 | 719 | 704 |
| bcc | 1972 | 677 | 676 |
| apex1 | 1842 | 605 | 606 |
| apex3 | 1561 | 444 | 452 |
| bcd | 1424 | 497 | 482 |
| C5315 | 1393 | 250 | 286 |
| frg2 | 1164 | 184 | 178 |
| Correlation | | | 0,993 |

IV. ZÁVĚR A PRÁCE DO BUDOUČNA

Jelikož výsledky experimentu přesvědčivě ukázaly na to, že optimalizační algoritmy ABC nedokáží obecnou strukturu XAIG využít, rozhodli jsme se reimplementovat algoritmus rewrite [12], který pro novou reprezentaci nebyl vůbec k dispozici.

Algoritmus rewrite (algoritmus popsáný v Zdrojovém kódu 1) identifikuje v obvodu maximální k -feasible řezy (cuts), podgrafy takové, že z jejich kořene vedou všechny cesty k primárním vstupům přes právě k listů tohoto podgrafu [21]. Řezy jsou konstruovány rekurzivně pro každý uzel dle algoritmu viz Zdrojový kód 2. Pro každý z nalezených řezů je simulací získáno pravdivostní ohodnocení. Pro $k = 4$ existuje takových ohodnocení 2^{16} , avšak permutací a negací vstupů lze všechna ohodnocení převést do 224 NPN ekvivalentních tříd. Předpočítané třídy ekvivalence pro $k = 4$ již jsou v ABC implementovány pro rewrite algoritmus pracující nad AIG, který jsme použili. Pro každou třídu je předpočítána optimální implementace a řez je nahrazen právě tou funkčně odpovídající jeho třídě, s příslušnou permutací a negací listů. Vnitřní uzly řezu s výstupy vedoucími mimo řez jsou před náhradou

zduplikovány. Změna je přijata v případě, že se její aplikací počet uzlů grafu zmenší.

```

Rewriting (network AIG, hash table
PrecomputedStructures, bool UseZeroCost)
{
    for each node N in the AIG in topological order
    {
        for each 4-input cut C of node N computed using
cut enumeration {
            F = Boolean function of N in terms of the
leaves of C
            PossibleStructures =
HashTableLookup(PrecomputedStructures, F);
            // find the best logic structure for rewriting
            BestS = NULL; BestGainGain = -1;
            for each structure S in PossibleStructures {
                NodesSaved = DereferenceNode(AIG, N);
                NodesAdded = ReferenceNode(AIG, S);
                Gain = NodesSaved - NodesAdded;
                Dereference(AIG, S); Reference(AIG, N);
                if (Gain > 0 || (Gain = 0 && UseZeroCost)){
                    if (BestS = NULL || BestGain < Gain){
                        BestS = S; BestGain = Gain;
                    }
                }
            }
            if (BestS = NULL){
                continue;
            }
            // use the best logic structure to update the
netlist
            NodesSaved = Dereference(AIG, N);
            NodesAdded = ReferenceNode(AIG, N);
            assert (BestGain = NodesSaved - NodesAdded);
        }
    }
}

```

Zdrojový kód 1: algoritmus rewrite [12]

```

void NetworkKFeasibleCuts (Graph g, int k){
    for each primary output node n of g {
        NodeKFeasibleCuts (n, k);
    }
}

cutset NodeKFeasibleCuts (Node n, int k){
    if (n is primary input) return {{n}};
    if (n is visited) return NodeReadCutSet (n);
    mark n as visited;
    cutset Set1 = NodeKFeasibleCuts (NodeReadChild1 (n),
k);
    cutset Set2 = NodeKFeasibleCuts (NodeReadChild2 (n),
k);
    cutset Result = MergeCutSets (Set1, Set2, k) U {n};
    NodeWriteCutSet (n, Result);
    return Result;
}

cutset MergeCutSets (cutset Set1, cutset Set2, int
k){
    cutset Result = {};
    for each cut Cut1 in Set1{
        for each cut Cut2 in Set2{
            if (|Cut1 U Cut2| <= k){
                Result = Result U {Cut1 U Cut2};
            }
        }
    }
    return Result;
}

```

Zdrojový kód 2: hledání k -feasible řezů [21]

Optimální reprezentace řezů v XAIG jsme předpočítali načtením pravděpodobnostní tabulky pomocí příkazu *read_truth* do ABC, optimalizovány příkazem *dch* a následně namapovány příkazem *map* do standartních buněk knihovnou obsahující inventory s cenou 1, a hradla AND a XOR s cenou 2. Namapované netlisty byly následně převedeny do XAIG. Totožná cena ANDů a XORů umožní vytvořit každý identifikovaný XOR. Rozhodnutí o tom, jak výsledné XORY implementovat tak bude necháno na mapperu.

Implementaci rewrite nad XAIG bude následovat porovnání jeho výkonu s rewritingem nad AIG. Tento experiment by měl potvrdit to, že nad XAIG lze reimplementovat algoritmy pracující nad AIG a dosáhnout tak lepšího výkonu těchto algoritmů. V opačném případě by měl ukázat, že rewriting nelze zlepšit identifikací a využitím XORů a bude třeba hledat jinou cestu.

PODĚKOVÁNÍ

- GAČR: GA16-05179S Výzkum vztahů a společných vlastností spolehlivých a bezpečných architektur založených na programovatelných obvodech (Fault-Tolerant and Attack-Resistant Architectures Based on Programmable Devices: Research of Interplay and Common Features) (03/2016 - 12/2018)
- SGS16/121/OHK3/1T/18 (Bezpečné a spolehlivé architektury vhodné pro implementaci v FPGA)
- Výpočetní prostředky byly poskytnuty CESNET LM2015042 and the CERIT Scientific Cloud LM2015085, pod programy "Projects of Large Research, Development, and Innovations Infrastructures"

REFERENCE

- [1] E. McCluskey, "Minimization of boolean functions," The Bell System Technical Journal, vol. 35, no. 6, pp. 1417–1444, Nov 1956.
- [2] R. K. Brayton, A. L. Sangiovanni-Vincentelli, C. T. McMullen, and G. D. Hachtel, Logic Minimization Algorithms for VLSI Synthesis. Norwell, MA, USA: Kluwer Academic Publishers, 1984.
- [3] S. Muroga, Y. Kambayashi, C. Lai, Hung, and N. Culliney, Jay, "The transduction method-design of logic networks based on permissible functions," vol. 38, no. 10, pp. 1404–1424, 10 1989, IEEE Transactions on Computers
- [4] S. B. Akers, "Binary decision diagrams," IEEE Transactions on Computers, vol. 27, no. 6, pp. 509–516, Jun. 1978.
- [5] R. E. Bryant, "Graph-based algorithms for boolean function manipulation," IEEE Trans. Comput., vol. 35, no. 8, pp. 677–691, Aug. 1986.
- [6] K. Karplus, "Using if-then-else DAGs for multi-level logic minimization," in Proc. of Advance Research in VLSI, C. Seitz Ed. MIT Press, 1989, pp. 101–118.
- [7] Y.-T. Lai, M. Pedram, and S. B. K. Vrudhula, "BDD based decomposition of logic functions with application to FPGA synthesis," in Proceedings of the 30th International Design Automation Conference, ser. DAC'93. New York, NY, USA: ACM, 1993, pp. 642–647.
- [8] C. Yang and M. Ciesielski, "BDS: a BDD-based logic optimization system," vol. 21, no. 7, pp. 866–876, 08 2002, IEEE Transactions on Computer-Aided Design of Integrated Circuits and Systems.
- [9] N. Vemuri, P. Kalla, and R. Tessier, "BDD-based logic synthesis for LUT-based FPGAs," ACM Transactions on Design Automation of Electronic Systems, vol. 7, no. 4, pp. 501–525, 12 2001.
- [10] A. Kuehlmann, V. Paruthi, F. Krohm, and M. Ganai, "Robust boolean reasoning for equivalence checking and functional property verification," IEEE Transactions on Computer-Aided Design of Integrated Circuits and Systems, vol. 21, no. 12, pp. 1377–1394, 12 2001.
- [11] P. Bjesse and A. Borlvi, "DAG-aware circuit compression for formal verification," in IEEE/ACM International Conference on ComputerAided Design, 2004, pp. 42–49.
- [12] K. Brayton, Robert, A. Mishchenko, and S. Chatterjee, "DAG-aware AIG rewriting: a fresh look at combinational logic synthesis," in 43rd ACM/IEEE Design Automation Conference. ACM, 2006, pp. 532–535.
- [13] A. Mishchenko et al., "ABC: A system for sequential synthesis and verification," 2012. [Online]. Available: <http://www.eecs.berkeley.edu/~alanmi/abc>
- [14] R. Brayton and A. Mishchenko, "ABC: an academic industrial-strength verification tool," in Proceedings of the 22Nd International Conference on Computer Aided Verification, ser. CAV'10. Berlin, Heidelberg: Springer-Verlag, 2010, pp. 24–40
- [15] J. Cong and K. Minkovich, "Optimality study of logic synthesis for LUT-based FPGAs", IEEE Transactions on Computer-Aided Design of Integrated Circuits and Systems 2007, Vol. 26, No. 2, pp. 230–239.
- [16] P. Fišer and J. Schmidt, "Small But Nasty Logic Synthesis Examples", Proceedings of the 8th. Int. Workshop on Boolean Problems, 2008, Freiberg, pp. 183–189.
- [17] F. Brglez and H. Fujiwara, "A Neutral Netlist of 10 Combinational Benchmark Circuits and a Target Translator in Fortran," in Proceedings of IEEE International Symposium Circuits and Systems (ISCAS 85). IEEE Press, Piscataway, N.J., 1985, pp. 677–692.
- [18] F. Brglez, D. Bryan, and K. Kozminski, "Combinational profiles of sequential benchmark circuits," in IEEE International Symposium on Circuits and Systems, 1989., May 1989, pp. 1929–1934 vol.3.
- [19] S. Yang, "Logic synthesis and optimization benchmarks user guide: Version 3.0," MCNC Technical Report, Tech. Rep., Jan. 1991.
- [20] K. McElvain, "IWLS'93 Benchmark Set: Version 4.0," Tech. Rep., May 1993.
- [21] A. Mishchenko et al. Technology Mapping with Boolean Matching, Supergates and Choices, ERL Technical Report, EECS Dept., UC Berkeley, 2005.
- [22] L. Amarù, P.-E. Gaillardon, G. De Micheli, "Biconditional Binary Decision Diagrams: A Novel Canonical Representation Form", IEEE Journal on Emerging and Selected Topics in Circuits and Systems (JETCAS), Vol. 4, No. 4, 2014, pp. 487-500.
- [23] L. Amarù, P.-E. Gaillardon, G. De Micheli, "Boolean Logic Optimization in Majority-Inverter Graphs", Design Automation Conference (DAC), San Francisco, CA, USA, 2015.